

ΙΖΗΜΑΤΟΛΟΓΙΚΕΣ ΠΑΡΑΤΗΡΗΣΕΙΣ ΣΤΗ ΛΙΜΝΟΘΑΛΑΣΣΑ ΤΟΥ ΠΑΠΠΑ (ΒΔ/κή ΠΕΛΟΠΟΝΝΗΣΟΣ)*

ΜΠΟΥΖΟΣ Δ.¹ & ΚΟΝΤΟΠΟΥΛΟΣ Ν.²

ΠΕΡΙΛΗΨΗ

Η λιμνοθάλασσα του Πάππα βρίσκεται στο ΒΔ/κό ώαρο της Πελοποννήσου. Είναι μια επιμήκης λιμνοθάλασσα σχετικά βαθιά, με μέσο βάθος 1,8μ. Μορφολογικά μπορεί να διαιρεθεί σε τρία επιμέρους τμήματα: I. στο βόρειο II. στο κεντρικό και III. στο νότιο. Κάθε ένα από τα τμήματα αυτά διαιροφορούεται στη πηγή τροφοδοσίας, στους λιθολογικούς τύπους, στην κατανομή των κοκκομετρικών παραμέτρων και στο ενεργειακό επίπεδο. Το βόρειο τμήμα έχει ως πηγή τροφοδοσίας κυρίως τον θαλάσσιο χώρο του Δηκού αφιμάδη νησιωτικού φραγμού, κατέχεται από αδρομερείς λιθολογικούς τύπους, με μέτρια έως φτωχή ταξιθέτηση, που έχουν γενικώς αρνητική ασυμμετρία και λεπτόχυτο χαρακτήρα. Το κεντρικό τμήμα έχει πηγή τροφοδοσίας μόνο από τα Δηκά περιθώριά του, κατέχεται από αδρομερείς και λεπτομερείς λιθολογικούς τύπους, με διασφαλίτες τις διαιροφορές των τιμών των κοκκομετρικών παραμέτρων μεταξύ Δηκών και Αθών περιθωρίων του. Το νότιο τμήμα έχει ως κύρια πηγή τροφοδοσίας το ωλονιθικό πεδίο που βρίσκεται νοτιώς αυτού, τα ιεζήματά του έχουν πολύ φτωχή έως υπερβολικά φτωχή ταξιθέτηση, με αρνητική έως θετική ασυμμετρία και γενικώς πλατύχυτο χαρακτήρα. Τέλος δύον αφορά το ενεργειακό επίπεδο, αυτό δείχνει να μειώνεται κατά μήρος του άξονα της λιμνοθάλασσας από βορρά προς νότο.

ABSTRACT

The Pappa lagoon is located at the northwestern end of Peloponnese. It is characterized by a double tombolo barrier type, according to morphological classification of Zenkovitch and King. The Pappa lagoon can be divided on the basis of its shape in three parts: a. the northern b. the central and c. the southern. These parts are dissimilar in terms of source areas, distribution of the lithological types, statistical grain-size parameters and energy regime. The source area of the northern part is the nearshore zone of the western barrier island. This part is covered by moderately to poorly sorted, negatively skewed, leptokurtic, coarse-grained sediments. The source area of the central part are limestone rocks and alluvial fan and paleo-dune clayey-sandy sediments outcropping along the western margin of this part. This source area provides the lagoon with broad particle size range sediments. These sediments produce coarse- and fine-grained lithological types with the prolonged winnowing action of waves. The coarse-grained types occur in the western margin of the central part and are very poorly to extremely poorly sorted, mostly positively skewed and platykurtic. The fine-grained types occur in the eastern margin of the central part and are very poorly sorted to extremely poorly sorted, mostly negatively skewed and leptokurtic. The source area of the southern part are limestone rocks and alluvial plain fine sediments. In this part occur mostly fine-grained lithological types which are very poorly to extremely poorly sorted, negatively to positively skewed and platykurtic. These textural parameters are primarily a function of the source materials and the negligible wave action.

The distribution of the above mentioned lithological types is mainly a reflection of the energy levels of the lagoon. The northern part shows a high energy level because of the action of the strong W, E and NE predominant

* SEDIMENTOLOGICAL OBSERVATIONS IN THE LAGOON OF PAPPA (NW PELOPONNESE)

¹ Υποψήφιος διδάκτορας, Πανεπιστήμιο Πατρών, Τμήμα Γεωλογίας, 26110 Ρίο-Πάτρα.

² Αναπληρωτής Καθηγητής Ιανουαρίου του Πανεπιστημίου της Πάτρας, Τμήμα Γεωλογίας, Α.Π.Θ.

winds. The western margin of the central part is characterized by moderate energy level because of the action of the only two E and NE predominant winds. The eastern margin of the central part and the southern part show a low energy level as protected areas from the strong predominant winds. The cumulative curves reflect the dominance of the traction and saltation population in the northern part, the saltation and suspension population in the central part and suspension population in the southern part. The microscopic observation of the sand fraction reveals that it includes quartz, calcite, feldspar (95%) and opaque minerals (5%). The carbonate content ranges from 7% to 69% and results from the weathering of the surrounding limestone's and the skeletal organic remains. The highest concentration of the shell remains in the lagoonal bottom sediments is 64%. The organic matter and organic carbon contents on average are 5.54% and 2.53% respectively.

ΑΞΕΙΣ ΚΑΙ ΕΙΔΗ: Λιμνοθάλασσα, Ιζηματολογία, Θαλάσσια Γεωλογία, Περιβαλλοντική Γεωλογία, ΒΔ/κό Ηλεκτρονήσος, Ολόκαυτο, Ιστολογικοί παράμετροι.

KEY WORDS: Lagoon, Sedimentology, Marine Geology, Environmental Geology, NW Peloponnesus, Holocene, Textural parameters.

1. ΕΙΣΑΓΩΓΗ

Η λιμνοθάλασσα του Πάπτα ή αλλιώς λιμνοθάλασσα της Καλογριάς, βρίσκεται στο ΒΔ/κό άκρο της Ηλεκτρονήσου, δυτικά του Πατραϊκού κόλπου, νότια του ακρωτηρίου του Αράξου. Το μέγεθος και το σχήμα της λιμνοθάλασσας διαμορφώνεται από τους τρεις αισθετολιθικούς όγκους που την οριοθετούν Δ/κά, ΝΑ/κά και Βόρεια, ενώ στο μεταξύ των αισθετολιθών διάστημα αναπτύσσονται χαμηλοί αιμιώδεις φραγμοί, που την περιορίζουν ΒΔ/κά από το Ιόνιο πέλαγος και Α/κά από τον Πατραϊκό κόλπο. Τέλος νότια τη λιμνοθάλασσα περιορίζουν τα αλλοιοβιακά πεδία των ποταμοχειμάρρων συστημάτων που αποστραγγίζουν την ευρύτερη περιοχή (Σχ.1).

Η επικοινωνία της λιμνοθάλασσας με την ανοιχτή θάλασσα γίνεται από τα Βόρεια και Α/κά περιθώρια της, μέσω τριών διαίλων (inlet) που διακρίπτονται τους αιμιώδεις φραγμούς. Το εύρος του ΒΔ/κού αιμιώδη φραγμού φτάνει τα 600μ, με γενικά χαμηλό ανάγλυφο, ενώ το εύρος του Α/κού αιμιώδη φραγμού φτάνει τα 200-250μ, με σχετικά πιο έντονο ανάγλυφο. Σύμφωνα με τη μορφολογική ταξινόμηση του Zenkovitch και King (Duffy W. et al, 1989), ο τύπος των φραγμού της λιμνοθάλασσας του Πάπτα χαρακτηρίζεται ως σύνθετο “διπλό Tombolo” (Σχ.1).

Η λιμνοθάλασσα του Πάπτα είναι μια σχετικά βαθιά λιμνοθάλασσα με μέσω βάθος 1.8μ. παρουσιάζοντας την τάση να γίνεται βαθύτερη προς τα Δ/κά περιθώρια της, εκεί όπου το βάθος της πλιόνει τη μέγιστη τιμή των 3μ. Καταλαμβάνει έκταση περίπου 6.2Km², το δε σχήμα της μοιάζει με ορθογώνιο παραλληλόγραμμο, μήκους 5Km και εύρους 1.7Km (Σχ.1).

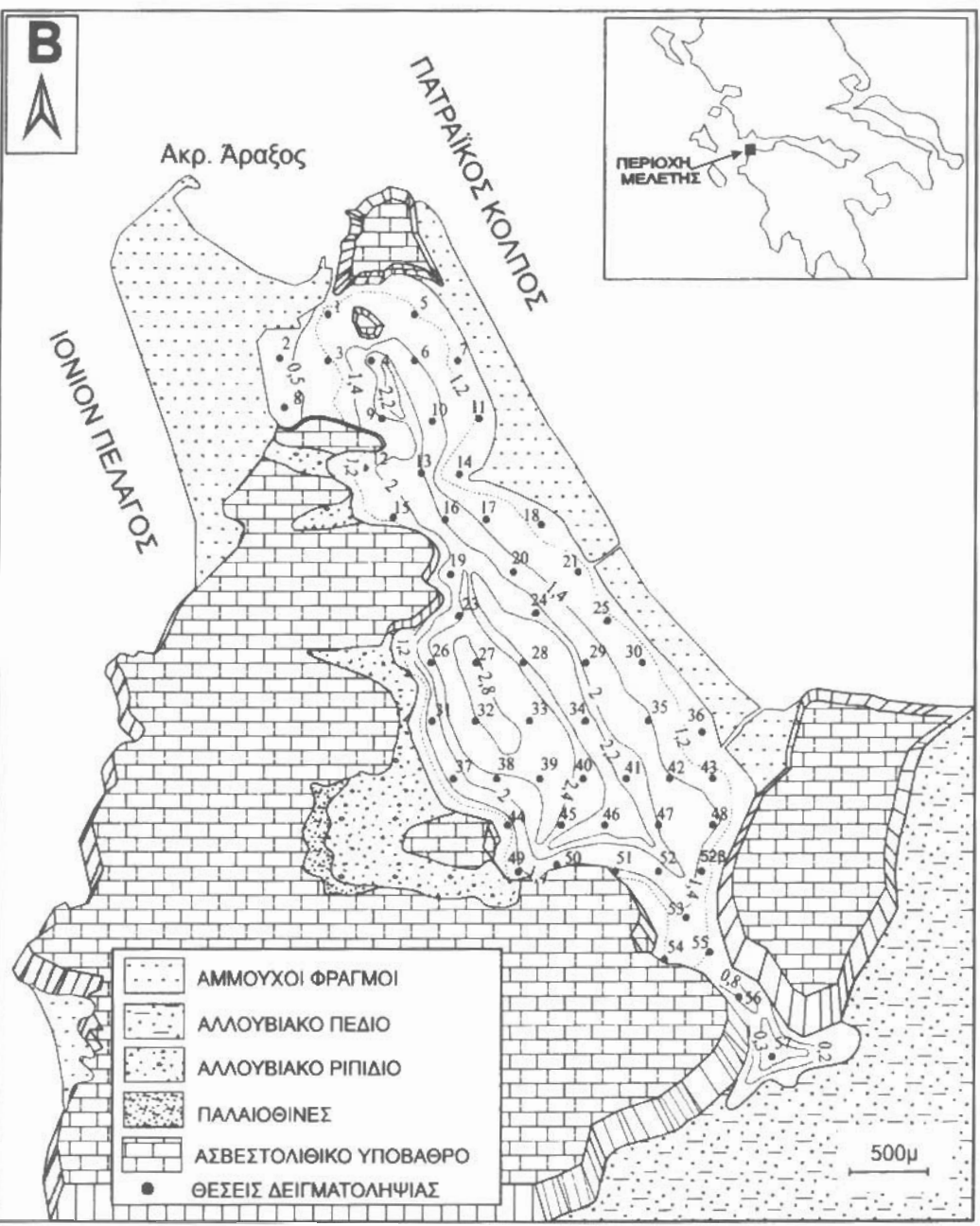
Σκοπός της εργασίας αυτής είναι, με βάση την ανάλυση 57 επιφανειακών δειγμάτων, να καθοριστούν οι πηγές τροφοδοσίας, η ορυκτολογική σύσταση και οι ιστολογικοί χαρακτήρες των ιζημάτων της λιμνοθάλασσας και να μελετηθεί η κατανομή των χαρακτήρων αυτών, σ' όλη την έκταση του πιθμένα της λιμνοθάλασσας.

2. ΜΕΘΟΔΟΛΟΓΙΑ

Στα πλαίσια της ιζηματολογικής αναγνώρισης της λιμνοθάλασσας πραγματοποιήθηκε επιφανειακή δειγματοληφία 57 περίπου δειγμάτων από τον πιθμένα της, με δειγματολήπτη (αρπάγη) τύπου Van-Veen, από ειδική βάρκα (γαΐτα) σε προκαθοδισμένες θέσεις. Έτοιμη δημιουργήθηκε ένα πλέγμα συντεταγμένων, σημείων συλλογής δειγμάτων, οι οποίων προσδιορίστηκαν μέσου φορητού GPS (Γεωγραφικό σύστημα προσδιορισμού θέσης), με μεγάλη ακρίβεια (ώς 5μ). Στις αντίστοιχες θέσεις έγιναν μετρήσεις του βάθους, με κατάλληλα διαμορφωμένη μετρητική κορδέλλα.

Τα δείγματα που συλλέχθηκαν μεταφέρθηκαν στο εργαστήριο όπου αφού τους έγινε έκπλυση, ακολούθησε η κοκκομετρία (το ίδιο αλανόνια κοκκοτά, μικτά). Ο μελοτυρός των στατιστικών

B



Σχήμα 1: Βιθυμετρικός χάρτης της λιμνοθάλασσας του Πάππα (περιοχή μελέτης), με τις θέσεις όπου έγιναν δειγματοληψίες επιφανειακού ιζήματος.

Fig. 1: Bathymetric map Ψηφιακή Βιβλιοθήκη "Θεόφραστος", Τμήμα Γεωλογίας ΑυΠιΘ. sediment samples.

παραμέτρων έγινε σύμφωνα με τους Folk & Ward (1957). Επίσης έγινε ποσοτική ανάλυση του CaCO₃ (Barnavas, 1979), του οργανικού-C (Gaudette et al, 1974) και του ολικού οργανικού υλικού (φασματοφωτόμετρο Hach) και προσδιορίστηκε η ορυκτολογική σύσταση της άμμου (ελαφριά ορυκτά), με τη χοήση διοφθάλμιου μικροσκοπίου μη πολωμένου φωτός.

3. ΑΠΟΤΕΛΕΣΜΑΤΑ

3.1. Μορφολογία. Όπως φαίνεται και στο Βιθομετρικό χάρτη του σχήματος 1, η λιμνοθάλασσα του Πάππα είναι μια επιμήκης λεκάνη, που χαρακτηρίζεται από σχετικά ήπιας κλίσης ανατολικά περιθώρια (1:180), ένα σχεδόν επίπεδο τμήμα, στο κέντρο της λεκάνης (1:1600) και από απότομης κλίσης δυτικά περιθώρια (1:60), όπου η λιμνοθάλασσα περιορίζεται από το ασβεστολιθικό υπόβαθρο. Επίσης μορφολογικά η λιμνοθάλασσα μπορεί να χωριστεί σε τρία μέρη, ένα βόρειο, ένα κεντρικό και ένα νότιο. Το βόρειο τμήμα περιορίζεται ανατολικά και δυτικά από τους αμμώδεις φραγμούς της λιμνοθάλασσας, βόρεια από την ασβεστολιθική νησίδα και το φραγμό που απολήγει σ_ αυτήν, ενώ νότια περιορίζεται από μια στενή ζώνη 500μ, μεταξύ ενός προεξέχοντος τμήματος του ασβεστολιθικού όγκου που βρίσκεται Δ/κά της λιμνοθάλασσας και μιας γεωμορφής τύπου “cuspate foreland”, που αναπτύσσεται πάνω στον Α/κό αμμώδη φραγμό και εισωτερικά της λιμνοθάλασσας (Σχ.1). Η επικοινωνία του βόρειου τμήματος με τον Πατραϊκό κόλπο, γίνεται δια μέσου ενός στενού διατύλου εύρους 10μ και βάθους 0.5-1μ.

Το κεντρικό τμήμα της λιμνοθάλασσας περιορίζεται Α/κά από τον αμμώδη φραγμό του Πατραϊκού κόλπου και Δ/κά από τον ασβεστολιθικό όγκο του υπόβαθρου. Είναι το πιο εκτεταμένο τμήμα της λιμνοθάλασσας και επικοινωνεί με τον Πατραϊκό κόλπο μέσα από δύο εξίσου στενούς διαύλους εύρους 10μ και 20μ αντίστοιχα, ενώ το μέσο βάθους τους είναι 0.5μ. Στα Δ/κά περιθώρια του τμήματος αυτού παρατηρείται το μέγιστο βάθος της λιμνοθάλασσας που είναι 3μ (Σχ.1). Τέλος το νότιο τμήμα περιορίζεται Α/κά και Δ/κά από το ασβεστολιθικό υπόβαθρο και είναι μια στενή αβαθής ζώνη, μήκους 1,2Km και μέσου βάθους 0.5μ με εύρος που δεν ξεπερνά τα 250μ (Σχ.1).

3.2. Κατανομή λιθολογικών τύπων επιφανειακών ιζημάτων. Με βάση το επί τοις εκατό ποσοστό σε άμμο-πηλό-άργιλο έγινε η ταξινόμηση των επιφανειακών δειγμάτων στο τριγωνο ονοματολογίας του Folk (1974) και προσδιορίστηκε ο λιθολογικός τους τύπος (Σχ. 2B). Επτά είναι οι λιθολογικοί τύποι που αναγνωρίστηκαν, χρήματος φωτεινό λαδί γκρι έως και σκοτεινό λαδί: I) άμμος (A), II) ίλινθός άμμος (ποA), III) αργιλώδης άμμος (oA), IV) αμμώδης πηλός (aP), V) αμμώδης αργιλός (aO), VI) αμμώδης ιλύς (aPO) και VII) πηλός (P). Το ποσοστό συμμετοχής των σκελετικών υπολοίπων στους παραπάνω λιθολογικούς τύπους, ως αμμώδη κλάσμα, κυμαίνεται από 3% έως και 64%, ενώ γενικώς το αμμώδη κλάσμα συνίσταται από περίπου 20-93% κλαστικής γένεσης υλικού.

Όπως φαίνεται και στο σχήμα 2B, ο κύριος λιθολογικός τύπος των ιζημάτων επιφανείας είναι διαφορετικός για κάθε τμήμα της λιμνοθάλασσας. Το βόρειο τμήμα της λιμνοθάλασσας χαρακτηρίζεται χυδίως από αδρομερείς λιθολογικούς τύπους δηλαδή άμμο, ίλινθόη άμμο και αμμώδη πηλό και δεν τερευνόντως από τον επίσης αδρομερή λιθολογικό τύπο της αργιλώδη άμμου. Στο κεντρικό τμήμα της απαντώνται και αδρομερείς και λεπτομερείς λιθολογικοί τύποι. Στους αδρομερείς λιθολογικούς τύπους ανήκουν οι ίλινθεις άμμοι, οι αργιλώδεις άμμοι, οι άμμοι, οι αμμώδεις πηλοί και οι πηλοί. Οι δύο πρώτοι λιθολογικοί τύποι απαντώνται στα Δ/κά περιθώρια του κεντρικού τμήματος, ο τρίτος λιθολογικός τύπος στο βόρειο άκρο των Α/κών περιθώριων του κεντρικού τμήματος, ενώ ο τέταρτος και ο πέμπτος λιθολογικός τύπος ως πολύ μικρές νησίδες στο κεντρικό και νότιο μέρος αυτού αντιστοίχως. Στους λεπτομερείς λιθολογικούς τύπους ανήκουν η αμμώδης ιλύς και η αμμώδης αργιλός. Οι δύο αυτοί λιθολογικοί τύποι εκτείνονται χυδίως από τα Α/κά περιθώρια του κεντρικού τμήματος, μέχρι και το μέσο του τμήματος καλύπτεται από την αμμώδη ιλύ. Βεβαίως η αμμώδης ιλύς και η αμμώδης αργιλός απαντώνται και στα Δ/κά περιθώρια, αλλά μόνο ως μικρές νησίδες. Τέλος το νότιο τμήμα της λιμνοθάλασσας χαρακτηρίζεται χυδίως από τους λιθολογικούς τύπους της αμμώδη ιλύς και της αμμώδη αργιλού (λεπτομερείς λιθολογικοί τύποι) και δεν τερευνόντως από το λιθολογικό τύπο της

Ψηφιακή Βιβλιοθήκη "Θεόφραστος"- Τμήμα Γεωλογίας Α.Π.Θ

αργιλώδη άμμου (αδρομερής λιθολογικός τύπος).

Με βάση την κατανομή των λιθολογικών τύπων, προκύπτει ότι το ενεργειακό επίπεδο είναι διαφορετικό κατά μήκος του άξονα της λιμνοθάλασσας του Πάππα. Αυτό αλλάζει από υψηλό ενεργειακό επίπεδο στο βόρειο τμήμα, σε χαμηλό ανάλογο στο νότιο τμήμα. Το Δ/κό μέρος του κεντρικού τμήματος της λιμνοθάλασσας, χαρακτηρίζεται από ένα ενδιάμεσον χαρακτήρα ενεργειακό επίπεδο, σε σχέση με το βόρειο και νότιο τμήμα της, ενώ το Α/κό μέρος του κεντρικού τμήματος, έχει ένα χαμηλό ενεργειακό επίπεδο, ανάλογο του νότιου τμήματος. Η κατανομή αυτή σε ενεργειακό επίπεδο οφείλεται στο γεγονός ότι, τόσο το βόρειο τμήμα όσο και το Δ/κό περιθώριο του κεντρικού τμήματος προσβάλλονται από τους επικρατούντες Δ/κούς, Α/κούς και ΒΑ/κούς ανέμους. Αντιθέτως το νότιο τμήμα και το Α/κό περιθώριο του κεντρικού τμήματος προστατεύονται από τη δράση των ανέμων αυτών, από τους υπάρχοντες ασβεστολιθικούς όγκους.

Οι αντιπροσωπευτικές αθροιστικές εκατοστιαίες (%) συχνότητας πιθανότητας καμπύλες κατανομής του κοκκομετερικού μεγέθους (Σχ.2Α), για τη λιμνοθάλασσα του Πάππα, μας δείχνουν ότι για κάθε λιθολογικό τύπο υπάρχουν υποπληθυσμοί που ακολουθούν διαφορετικές διαδικασίες ιζηματογένεσης (Visher, 1969). Για τους λιθολογικούς τύπους της άμμου (άμμος, ιλινώδης άμμος και πηλώδης άμμος), διακρίνουμε έναν έως και τρεις υποπληθυσμούς που κινούνται με σύρσιμο (traction), δύο τουλάχιστον υποπληθυσμούς που κινούνται με άλματα (saltatory load) και δύο με τρεις υποπληθυσμούς που κινούνται με αιώρηση (suspension). Για τους λιθολογικούς τύπους των άμμων ιζημάτων (αμμώδης ιλύς αμμώδης πηλός και αμμώδης άργιλος) και του πηλού, βλέπουμε ότι υπάρχουν ένας, το πολύ δύο υποπληθυσμοί, που κινούνται με σύρσιμο, ένας μέχρι και δύο υποπληθυσμοί που κινούνται με άλματα και τρεις έως και πέντε υποπληθυσμοί που κινούνται με αιώρηση.

3.3. Ιημέτος. Το βόρειο τμήμα της λιμνοθάλασσας δέχεται αμμώδη υλικό κυρίως με τη βοήθεια του φαινομένου “έκπλινσης υλικού υπεράνω φραγμού” (washover phenomenon) και το οποίο παρέχεται από την παραγάκτια και υποπαραγάκτια ζώνη του Α/κού νησιωτικού αμμώδη φραγμού. Μικρή ποσότητα ασβεστολιθικών κόκκων, κυρίως μεγέθους άμμου, προσφέρεται απ' ευθείας στο βόρειο τμήμα από την αποσάθρωση και διάβρωση του παρακείμενου μικρού ασβεστολιθικού όγκου (Σχ.1). Η παροντιά πλεγμάτων για την ιχθυοπαραγωγή στο βόρειο διαυλό παρεμποδίζει την είσοδο, με τη βοήθεια των αιθενών παλιρροϊκών ψευμάτων που επικρατούν (ήφος παλιρροιας περίπου 20cm), παράκτιας και υποπαραγάκτιας άμμου μέσα από αυτόν.

Τα Δ/κά περιθώρια του κεντρικού τμήματος της λιμνοθάλασσας δέχονται κλαστικά ιζήματα άμμων με μικρή παροντιά πηλού και αργιλού (2-5%), από ένα σχετικά μικρό και από τρία ακόμη μικρότερα αλλοιοβιακά ριπίδια, τα οποία έχουν διανοιχτεί επί παλαιοιθινών, υπολείμματα των οποίων απαντούν σε τοπογραφικά υψηλότερες θέσεις στη χέρσο (Σχ.1). Επίσης, ο ασβεστολιθικός όγκος που βρίσκεται παρά του Δ/κού περιθωρίου (Σχ.1), η επ' αυτού αναπτυσσόμενη κατά θέσεις ερυθρογή, καθώς και τα πλευρικά του κορήματα παρέχουν ασβεστολιθικούς κόκκους, κυρίως μεγέθους άμμου, καθώς και λεπτομερές κλαστικό υλικό ασβεστολιθικής και μη σύστασης. Τα ανατολικά περιθώρια του κεντρικού τμήματος της λιμνοθάλασσας είναι μια περιοχή που στέρειται παροχής αμμώδους ιζηματος από την παραγάκτια και υποπαραγάκτια ζώνη του Πατραϊκού κόλπου, είτε μέσα από τους δύο διαυλούς του Α/κού φραγμού, είτε μέσα από την ανεμογενή δράση. Αυτό καταδεικνύεται από την απουσία των αμμωδών δέλτα πλήμμης των διαυλών καθώς και από τη σταθερή μορφολογία που παρουσιάζει ο Α/κός νησιωτικός φραγμός στα τελευταία 50 χρόνια και την έλλειψη προέλασης του (αεροφωτογραφίες 1945, 1960, 1986 , Γ.Υ.Σ). Ο φραγμός αυτός μπορεί να θεωρηθεί ως μια “περιοχή που στέρειται άμμου” (sand starved area).

Στο νότιο τμήμα της λιμνοθάλασσας εκβάλλει το στόμιο χειμάρρων που αποστραγγίζουν ένα σχετικά εκτεταμένο αλλοιοβιακό πεδίο και παρέχουν στη λιμνοθάλασσα ιλύ με πολύ μικρή παροντιά CaCO_3 (περίπου 16%) (Σχ.1). Το τμήμα αυτό στη μετάβασή του προς το κεντρικό τμήμα της λιμνοθάλασσας χαρακτηρίζεται από αυξημένη παροντιά CaCO_3 (30-65%) (πίνακας 1), πράγμα που υποδηλώνει τη συμμετοχή ως μιας επιπλέον πηγής τροφοδοσίας, δηλαδή τους δύο ασβεστολιθικούς όγκους που βρίσκονται στην περιοχή θέρμανσης θαλάσσης. Τέλος, μερικές μικρές παραγωγή σκελετικών

υπολοίπων απαντά στο σύνολο της λιμνοθάλασσας και μπορεί τα σκελετικά υπόλοιπα να συμμετέχουν με ποσοστό έως και 64% του επιφανειακού ιζήματος.

3.4. Πετρολογία.

I) Ορικτολογία κλαστικού υλικού των επιφανειακών ιζημάτων. Η μικροσκοπική εξέταση του κλάσματος της άμμου (κλαστικής), έδειξε ότι συγκλητικής ορικτολογίας την έκταση της λιμνοθάλασσας τα ορυκτά τα οποία επικρατούν είναι ο χαλαζίας, ο ασβεστίτης και οι άστροι σε ποσοστό 95%, ενώ σε πολύ μικρότερη αναλογία (5%) συναντώνται και αδιαφανή ορυκτά.

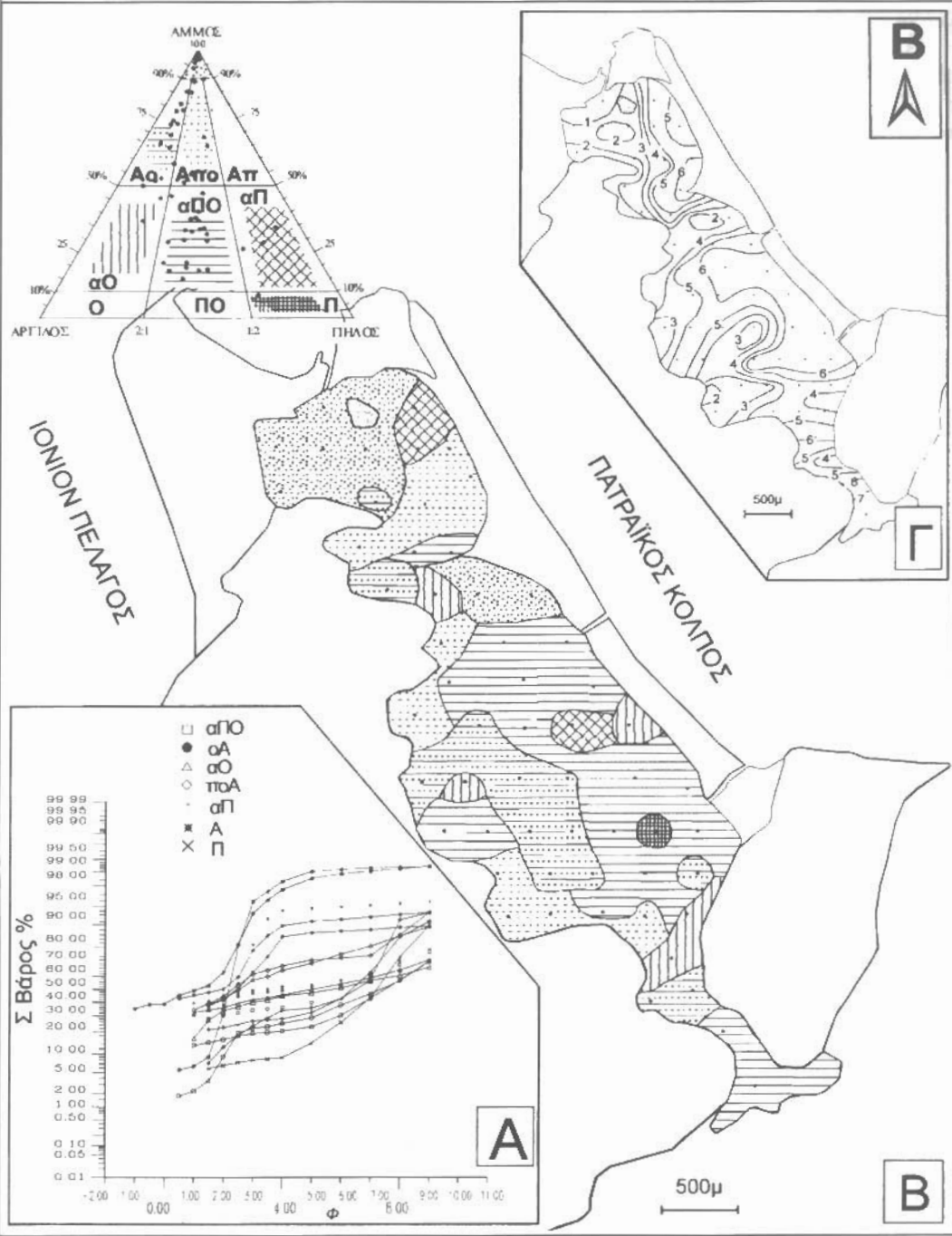
II) Ανθρακικό ασβέστιο των επιφανειακών ιζημάτων. Το ποσοστό του ανθρακικού ασβεστίου (CaCO_3), κυμαίνεται από 7-69% (πίνακας 1). Τα δείγματα που εμφανίζουν τα μεγαλύτερα ποσοστά CaCO_3 (κατά μέσον όρο >40%), είναι κυρίως σύστασης ιλινόδη άμμου, αργιλώδη άμμου και αμμώδη αργιλού και δευτερευόντως αμμώδη ιλύος (κατά μέσον όρον περίπου 28%) και δείχνουν να συσχετίζονται με δείγματα που έχουν υψηλό ποσοστό σκελετικών υπολοίπων λιμνοθαλάσσιων οργανισμών ή/και υψηλό ποσοστό ανθρακικών κόκκων. Επίσης παρατηρούμε ότι τα δείγματα με τα υψηλότερα ποσοστά CaCO_3 , κατά προτίμηση κατανέμονται στα Δ/κά και βαθύτερα σχετικά περιθώρια της λιμνοθάλασσας. Αντίθετα τα μικρότερα ποσοστά CaCO_3 (κατά μέσον όρο <20%), εμφανίζονται κυρίως στα ιζήματα, του τύπου άμμου, αμμώδη πηλού και πηλού, που έχουν πολύ μικρό ποσοστό σκελετικών υπολοίπων και ανθρακικών ορυκτών. Τα σκελετικά υπόλοιπα προέρχονται από το θάνατο ελασματοβραγχίων (κυρίως *Cardium*), με ποσοστό συμμετοχής 80%, και γαστερόποδων (κυρίως *Cerithium*), με ποσοστό συμμετοχής 20%.

III) Οργανικό υλικό - Οργανικός άνθρακας (C) των επιφανειακών ιζημάτων. Το ποσοστό σε οργανικό υλικό (organic matter), των επιφανειακών ιζημάτων, κατά μέσον όρο είναι γύρω στα 5,54%, κυμαίνομενο από 0,86% έως και 9,8% και του οργανικού άνθρακα (organic carbon), είναι 2,53%, κυμαίνομενο από 0,075% έως 4,7% (πίνακας 1). Τα σχετικά μεγάλα ποσοστά σε οργανικό υλικό και οργανικό άνθρακα των επιφανειακών ιζημάτων της λιμνοθάλασσας, οφείλονται κυρίως στο θάνατο της "in situ" χλωρίδας και πανίδας και πολύ λιγότερο στην προσφορά χερσογενούς κλαστικού οργανικού υλικού από το περιορισμένο δίκτυο απορροής που καταλήγει σ' αυτή. Η άποψη αυτή ενισχύεται από την κατάσταση εντροφισμού η οποία παρατηρείται περιοδικά στη λιμνοθάλασσα και υποδηλώνει τον υψηλό φυσικό παραγωγής οργανικής υλης.

3.5. Στατιστικοί παράμετροι του κοκκομετρικού μεγέθους των επιφανειακών ιζημάτων. Για όλα τα επιφανειακά δείγματα του πυθμένα της λιμνοθάλασσας του Πάττα, οι στατιστικοί παράμετροι του κοκκομετρικού μεγέθους που υπολογίστηκαν είναι, ο γραφικός μέσος (Mz), η διάμεσος (Md), η αποκλειστική γραφική σταθερά απόκλισης (σ1), η αποκλειστική γραφική ασυμμετρία (SK1) και η γραφική κύρωση (KG) (πίνακας 1). Τα δεδομένα αυτά απεικονίστηκαν σε ορθοκανονικό σύστημα αξόνων, με σκοπό να διακρίνουμε τη σχέση που έχουν μεταξύ τους και να αναδειξουμε την ιζηματολογική συμπεριφορά των διαφόρων λιθολογικών τύπων των ιζημάτων του πυθμένα της λιμνοθάλασσας.

Στο σχήμα 3Α φαίνεται η γραφική απεικόνιση του γραφικού μέσου (Mz) του κοκκομετρικού μεγέθους, έναντι της αποκλειστικής γραφικής σταθεράς απόκλισης (σ1), η οποία μας δείχνει γενικά ότι τα ιζήματα του πυθμένα της λιμνοθάλασσας έχουν ένα πολύ φτωχό βαθμό ταξιθέτησης, με μόνη εξαίρεση τα ιζήματα κυρίως του βόρειου τμήματος της λιμνοθάλασσας, του τύπου άμμου, που έχουν έναν καλύτερο βαθμό ταξιθέτησης (μέτρια μέχρι φτωχή ταξιθέτηση). Επιπλέον είναι σαφές ότι, αν εξαρέσουμε τον λιθολογικό τύπο της άμμου, για τα υπόλοιπα ιζήματα της λιμνοθάλασσας και ιδιαίτερα για την αμμώδη ιλύ και για ένα ειρηνικό φάσμα του μέσου μεγέθους (Mz), ο βαθμός ταξιθέτησης είναι σχετικά σταθερός (επό 3-5) (Σχ.3Α). Αντό δηλώνει ότι το περιβάλλον απόθεσης των ιζημάτων αυτών είναι "ήσυχων ιδάτων", με ασθενή ρεύματα και μικρή κυματική δραστηριότητα (Bullet & McManus, 1972). Η γραφική απεικόνιση του γραφικού μέσου (Mz) του κοκκομετρικού μεγέθους (Σχ.3Β), έναντι της αποκλειστικής γραφικής ασυμμετρίας (SK1), μας δείχνει ότι υπάρχει σαφής διάκριση μεταξύ των ιζημάτων της λιμνοθάλασσας, στη σάσσων άμμου, αμμώδη ιλύος, αμμώδη πηλού και πηλού και αυτών με συσταθή αμμώδη αργιλού, ιλινόδη άμμου και αργιλούχου άμμου. Η πρώτη

Φημιακή Βιβλιοθήκη "Θεόφραστος" - Τμήμα Γεωλογίας. Α.Π.Θ.



Σχήμα 2: A) Χαρακτηριστικές αθροιστικές καμπύλες συχνότητας, για διάφορους λιθολογικούς τύπους. B) Χάρτης κατανομής του κοκκομετρικού μεγέθους με το τριγωνικό διάγραμμα του Folk (1974). Γ) Κατανομή των μέσου μεγέθους (Mz) των ιζημάτων της λιμνοθάλασσας του Πάππα.

Fig. 2: A) Cumulative frequency curves of the various textural classes. B) Map of the grain-size distribution with the diagram of Folk (1974). C) Distribution of mean grain size (Mz) of the Pappa lagoon sediments.

ομάδα ιζημάτων δείχνει σαφή αρνητική ασυμμετοία, σε αντίθεση με τη δεύτερη ομάδα με τη σαφή θετική ασυμμετοία.

Η γραφική απεικόνιση της αποκλειστικής γραφικής σταθεράς απόκλισης (σ1), έναντι της αποκλειστικής γραφικής ασυμμετοίας (SK1) (Σχ.3Γ), μας δείχνει ό,τι, τα ιζήματα του πηλού, του αμμώδη πηλού και της αμμώδη ίλινος, που παρουσιάζουν πολύ φτωχή έως υπερβολικά φτωχή ταξιδέτηση, έχουν αρνητική ασυμμετοία. Ομοίως αρνητική ασυμμετοία δείχνουν οι άμμοι που έχουν μια μέτρια καλή ταξιδέτηση έως φτωχή ταξιδέτηση. Τα υπόλοιπα ιζήματα της λιμνοθάλασσας (αμμώδης άργιλος, ίλινόδης άμμος, αργιλώδης άμμος), παρουσιάζουν πολύ έως υπερβολικά φτωχή ταξιδέτηση και θετική μέχρι σχεδόν κανονική ασυμμετοία. Η κυματική δράση η οποία ως προελέχθη είναι έντονη στα Δ/κά περιθώρια του κεντρικού τμήματος, προκαλεί με το “ρεύμα επιστροφής” (“backwash”) ένα “λίχνισμα” (winoowing) των ιζημάτων σ’ αυτά και την εκλεκτική απομάκρυνση του πηλού και της αργίλου. Αυτό έχει ως αποτέλεσμα τα ιζήματα του Δ/κού περιθωρίου να παρουσιάζουν μια θετική μέχρι και κανονική ασυμμετοία αφού ο αδρομερέστερος υποπληθυσμός θα αυξάνει σε σχέση προς το λεπτό υποπληθυσμό. Ο πηλός και η άργιλος που απομακρύνθηκαν, μεταφέρονται και καθίζανται μέσα από αιώρηση στο κεντρικό και Α/κό μέρος του κεντρικού τμήματος, παράγοντας αρνητική ασυμμετοία, αφού πλέον ο λεπτός υποπληθυσμός θα επικρατεί του αδρομερέστερου υποπληθυσμού (Spencer, 1963) (Σχ.3Ε).

Τέλος η γραφική απεικόνιση του γραφικού μέσου (Mz) του κοκκομετρικού μεγέθους, έναντι της γραφικής κύρτωσης (KG) (Σχ.3Δ), δείχνει ότι τα ιζήματα κυρίως του τύπου της αμμώδη ίλινος και της αμμώδη αργίλου είναι κυρίως πλατύκυρτα και δευτερευόντως μεσόκυρτα έως λεπτόκυρτα (πλησιέστερα του Α/κού φραγμού), ενώ τα ιζήματα της άμμου, του αμμώδη πηλού και του πηλού παρουσιάζουν κυρίως μέτρια έως πολύ λεπτή κύρτωση. Εξάλλου η ίλινόδης άμμος και η αργιλώδης άμμος παρουσιάζουν ευρεία διασπορά τιμών στην κύρτωση. Σύμφωνα με το σχήμα 3(ΣΤ) στο Α/κό περιθώριο του κεντρικού τμήματος και σύμφωνα με όσα ειπώθηκαν αμέσως προηγούμενα σε σχέση με την ασυμμετοία, θα πρέπει τα ιζήματα εκεί να τείνουν να είναι περισσότερο ώριμα (κυριαρχεί ο υποπληθυσμός του πηλού και της αργίλου, σε σχέση με τον υποπληθυσμό της άμμου ή και το αντίθετο) και κατά συνέπεια να τείνουν να είναι λεπτόκυρτα ως μεσόκυρτα. Αντίθετα μακρύτερα από τον Α/κό φραγμό η αμμώδης ίλινς είναι λιγότερο ώριμη (σημαντική συμμετοχή ακόμη της άμμου) και έχει έτσι πλατύκυρτο χαρακτήρα.

4. ΣΥΜΠΕΡΑΣΜΑΤΑ

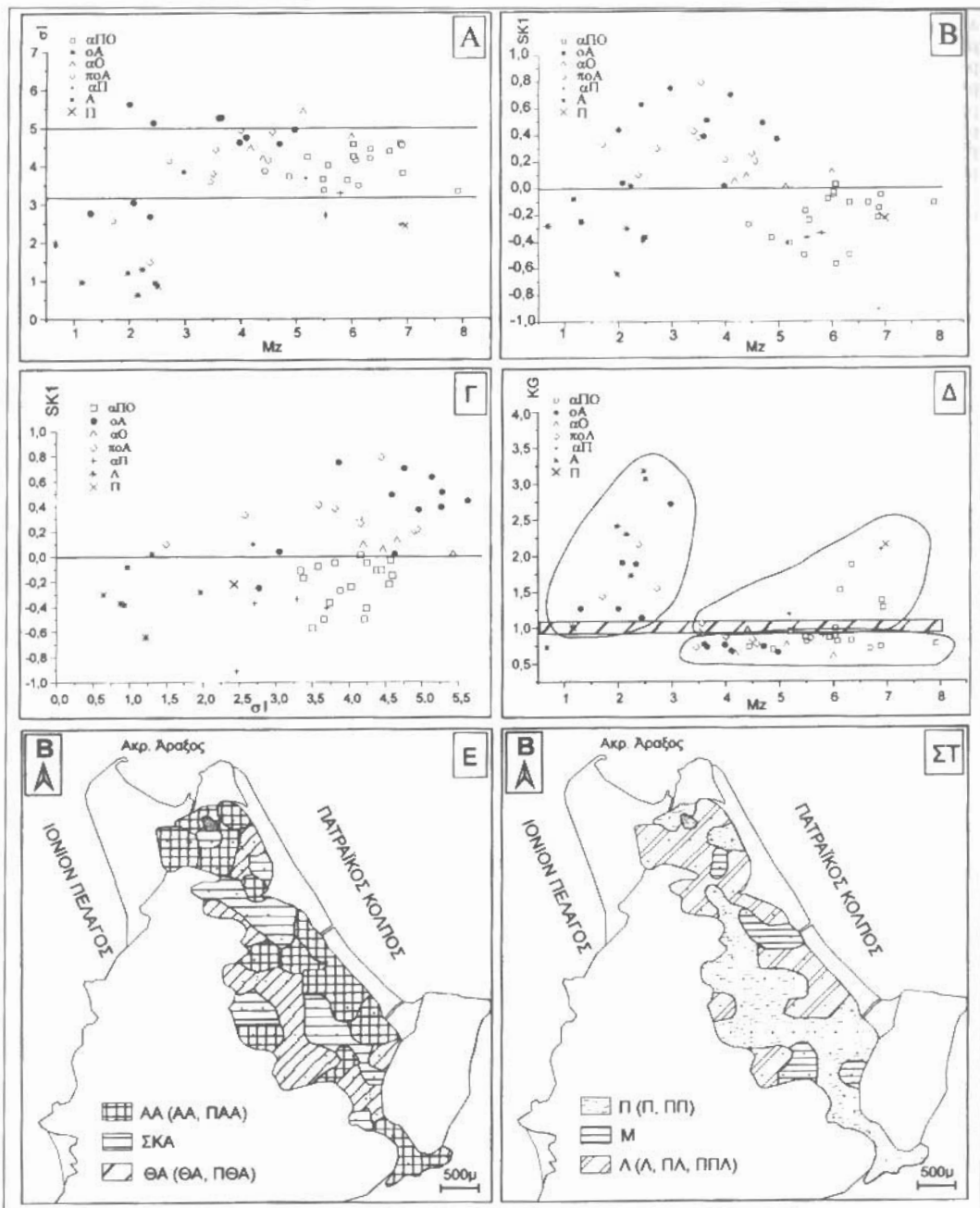
Η λιμνοθάλασσα του Πάπτα είναι μια επιμήκης, σχετικά βαθιά λιμνοθάλασσα, μέσου βάθους 1,8μ, η οποία μπορεί να διακριθεί με βάση τη μορφολογία της σε τρία τμήματα: I) βόρειο II) κεντρικό και III) νότιο. Κάθε ένα από τα τμήματα αυτά μπορεί να διαφοροποιείται στην πηγή τροφοδοσίας, στους λιθολογικούς τύπους, στην κατανομή των κοκκομετρικών παραμέτρων και στο ενεργειακό επίπεδο. Το βόρειο τμήμα έχει ως κύρια πηγή τροφοδοσίας την παράκτια και υποπαράκτια ζώνη του Δ/κού νησιωτικού φραγμού. Το κεντρικό τμήμα δέχεται ιζήματα μόνο από το Δ/κό περιθώριό του. Οι κύριες πηγές τροφοδοσίας είναι ο υπάρχων εκεί ασβεστολιθικός όγκος και τα αλλοιοβιακά ωρίδια που εδράζονται επί παλαιοθυΐνων. Το νότιο τμήμα δέχεται κυρίως ιζήματα από την αποστράγγιση ενός σχετικά εκτεταμένου αλλοιοβιακού πεδίου και δευτερευόντως από τους εκεί υπάρχοντες ασβεστολιθικούς όγκους. Η αυτόχθονη βιογενής παραγωγή σκελετικών υπολοιπών απαντά στο σύνολο της λιμνοθάλασσας και μπορεί τα σκελετικά υπόλοιπα να συμμετέχουν με ποσοτό έως και 64% του επιφανειακού ιζήματος.

Το βόρειο τμήμα κατέχεται γενικά από αδρομερέστερους λιθολογικούς τύπους όπως η άμμος, η ίλινόδης άμμος, η αργιλώδης άμμος και ο αμμώδης πηλός. Στο κεντρικό τμήμα απαντώνται και αδρομερείς και λεπτομερείς λιθολογικοί τύποι. Στους αδρομερείς λιθολογικούς τύπους ανήκουν η ίλινόδης άμμος, η αργιλούχος άμμος, η άμμος, ο αμμώδης πηλός και ο πηλός. Οι αδρομερείς τύποι απαντούν κυρίως στο Δ/κό περιθώριο του κεντρικού τμήματος. Οι λεπτομερείς λιθολογικοί τύποι είναι η αμμώδης ίλινς και η αμμώδης αργίλος. Οι λιθολογικοί αυτοί τύποι απαντούν κυρίως στο Α/κό περιθώριο του κεντρικού ιζηματικού τμήματος. Η θεραπευτική διάσταση της λιμνοθάλασσας Α/κο θεραπευτική διάσταση είναι 50% του τμήματος

| ΔΕΙΓΜΑ ΑΜΜΟΣ | % ΠΗΛΑΟΣ | % ΑΡΓΙΛΟΣ | % | ΑΙΘ/ΤΙΑ | CaCO ₃ | C% | C%-υλικό | Mz | σι ⁽¹⁾ | SK1 ⁽²⁾ | KG ⁽³⁾ |
|--------------|----------|-----------|-------|---------|-------------------|------|----------|------|-------------------|--------------------|-------------------|
| p57 | 14,29 | 38,2 | 47,51 | αΠΟ | 16,5 | 3,18 | 7,1 | 7,92 | 3,34 πφτ | -0,11 α.α | 0,77 π |
| p56 | 28,31 | 26,50 | 45,19 | αΠΟ | 16,16 | 3,06 | 6,12 | 6,88 | 4,60 υφτ | -0,15 α.α | 0,74 π |
| p55 | 51,51 | 10,94 | 37,55 | οΑ | 65,16 | 0,99 | 3,84 | 3,98 | 4,63 υφτ | 0,02 σκα | 0,76 π |
| p54 | 52,47 | 12,36 | 35,17 | οΑ | 25,34 | 3,45 | 6,9 | 4,97 | 4,96 υφτ | 0,37 πθα | 0,66 ππ |
| p53 | 44,83 | 15,97 | 39,20 | αΟ | 27,45 | 3,42 | 8,12 | 6,00 | 4,66 υφτ | 0,12 θ.α | 0,60 ππ |
| p52b | 36,22 | 14,72 | 49,06 | αΟ | 54,76 | 2,37 | 4,74 | 4,40 | 4,20 υφτ | 0,09 σκα | 0,94 μ |
| p52 | 50,95 | 20,30 | 28,75 | ποΑ | 45,03 | 2,7 | 5,4 | 4,57 | 4,90 υφτ | 0,20 θ.α | 0,77 π |
| p51 | 32,69 | 29,87 | 37,44 | αΠΟ | 42,32 | 2,85 | 5,7 | 5,20 | 4,24 υφτ | -0,41 παα | 0,95 μ |
| p50 | 72,85 | 5,08 | 22,07 | ποΑ | 27,92 | 3,38 | 6,75 | 3,55 | 4,44 υφτ | 0,79 πθα | 1,06 μ |
| p49 | 78,26 | 6,25 | 15,49 | ποΑ | 64,30 | 0,53 | 3,3 | 2,72 | 4,14 υφτ | 0,30 θ.α | 1,55 πλ |
| p48 | 65,71 | 5,53 | 28,75 | οΑ | 33,39 | 3,38 | 6,75 | 4,10 | 4,76 υφτ | 0,70 πθα | 0,68 π |
| p47 | 36,23 | 32,31 | 31,46 | αΠΟ | 35,80 | 3,11 | 6,21 | 4,87 | 3,74 πφτ | -0,37 παα | 0,70 π |
| p46 | 74,28 | 5,10 | 20,61 | οΑ | 68,97 | 1,05 | 4,5 | 2,43 | 5,14 υφτ | 0,63 πθα | 1,11 μ |
| p45 | 80,61 | 4,32 | 15,07 | οΑ | 23,12 | 2,13 | 4,88 | 2,97 | 3,86 πφτ | 0,75 πθα | 2,72 πλ |
| p44 | 89,05 | 4,49 | 6,45 | ποΑ | 29,21 | 0,93 | 2,94 | 1,70 | 2,58 πφτ | 0,33 πθα | 1,44 λ |
| p43 | 28,97 | 31,28 | 39,75 | αΠΟ | 20,49 | 3,45 | 7,8 | 6,68 | 4,39 υφτ | -0,11 α.α | 0,71 π |
| p42 | 8,83 | 64,99 | 26,18 | Π | 7,19 | 4,5 | 8,2 | 6,97 | 2,43 πφτ | -0,22 α.α | 2,15 πλ |
| p41 | 33,14 | 34,28 | 32,57 | αΠΟ | 18,46 | 4,7 | 9,8 | 6,07 | 4,16 υφτ | 0,01 σκα | 0,81 π |
| p40 | 28,63 | 38,77 | 32,60 | αΠΟ | 17,70 | 3,93 | 7,85 | 6,03 | 4,25 υφτ | -0,05 σκα | 0,88 π |
| p39 | 68,77 | 7,09 | 24,13 | οΑ | 63,84 | 1,56 | 5,4 | 3,60 | 5,27 υφτ | 0,39 πθα | 0,77 π |
| p38 | 46,71 | 28,35 | 24,94 | αΠΟ | 45,66 | 2,01 | 4,02 | 4,43 | 3,88 πφτ | -0,27 α.α | 0,74 π |
| p37 | 39,73 | 30,43 | 29,84 | αΠΟ | 16,52 | 4,31 | 9 | 5,50 | 3,38 πφτ | -0,17 α.α | 0,81 π |
| p36 | 32,31 | 32,10 | 35,59 | αΠΟ | 18,00 | 4,03 | 8,05 | 6,33 | 4,45 υφτ | -0,11 α.α | 0,82 π |
| p35 | 20,25 | 29,21 | 50,54 | αΠΟ | 24,31 | 4,35 | 8,6 | 6,33 | 4,21 υφτ | -0,50 παα | 1,87 πλ |
| p34 | 84,96 | 5,57 | 9,48 | οΑ | 29,23 | 1,05 | 3,16 | 2,37 | 2,69 πφτ | 0,10 θ.α | 1,89 πλ |
| p33 | 57,92 | 13,65 | 28,43 | οΑ | 31,45 | 3,35 | 6,7 | 4,70 | 4,59 υφτ | 0,49 πθα | 0,74 π |
| p32 | 45,68 | 19,05 | 35,27 | αΟ | 58,74 | 1,83 | 4,84 | 5,13 | 5,43 υφτ | 0,01 σκα | 0,76 π |
| p31 | 85,31 | 3,84 | 10,85 | οΑ | 32,03 | 0,6 | 2,9 | 2,07 | 3,05 πφτ | 0,04 σκα | 1,91 πλ |
| p30 | 17,34 | 32,51 | 50,16 | αΠΟ | 28,16 | 3,96 | 7,92 | 6,12 | 3,50 πφτ | -0,57 παα | 1,50 λ |
| p29 | 33,78 | 57,90 | 8,32 | αΠ | 17,16 | 4,18 | 8,6 | 5,53 | 2,71 πφτ | -0,37 παα | 0,83 π |
| p28 | 22,40 | 35,40 | 42,20 | αΠΟ | 27,2 | 3,82 | 7,64 | 6,85 | 4,45 υφτ | -0,28 α.α | 0,80 π |
| p27 | 64,05 | 9,08 | 26,88 | οΑ | 28,80 | 3,85 | 7,7 | 3,65 | 5,28 υφτ | 0,51 πθα | 0,73 π |
| p26 | 54,04 | 21,09 | 24,88 | ποΑ | 44,06 | 1,71 | 3,42 | 4,00 | 4,94 υφτ | 0,21 θ.α | 0,87 π |
| p25 | 15,60 | 30,20 | 55,20 | αΠΟ | 27,90 | 4,2 | 8,4 | 5,40 | 2,55 πφτ | -0,40 παα | 1,40 λ |
| p24 | 20,40 | 36,39 | 43,20 | αΠΟ | 26,39 | 3,96 | 7,48 | 6,90 | 4,55 υφτ | -0,22 α.α | 1,38 λ |
| p23 | 31,27 | 37,39 | 31,34 | αΠΟ | 58,42 | 1,68 | 3,36 | 5,48 | 3,66 πφτ | -0,50 παα | 0,87 π |
| p21 | 25,54 | 51,76 | 22,70 | αΠ | 17,06 | 4,23 | 8,46 | 5,80 | 3,29 πφτ | -0,34 παα | 0,92 μ |
| p20 | 36,88 | 29,49 | 33,63 | αΠΟ | 39,97 | 3,15 | 6,3 | 6,03 | 4,57 υφτ | -0,03 σκα | 0,99 μ |
| p19 | 67,93 | 18,02 | 14,06 | ποΑ | 58,83 | 1,43 | 5,12 | 3,45 | 3,59 πφτ | 0,41 πθα | 0,73 π |
| p18 | 98,39 | 0,83 | 0,78 | Α | 11,98 | 0,18 | 0,36 | 2,15 | 0,64 μτ | -0,30 α.α | 2,30 πλ |
| p17 | 96,20 | 0,87 | 2,93 | Α | 27,38 | 0,55 | 1,6 | 1,15 | 0,97 μτ | -0,08 σκα | 1,01 μ |
| p16 | 49,52 | 8,11 | 42,37 | αΟ | 47,10 | 2,37 | 4,74 | 4,18 | 4,47 υφτ | 0,05 σκα | 0,64 ππ |
| p15 | 77,83 | 4,25 | 17,92 | οΑ | 64,72 | 1,5 | 3 | 2,00 | 5,63 υφτ | 0,44 πθα | 1,27 λ |
| p14 | 15,16 | 64,42 | 20,41 | αΠ | 22,92 | 3,96 | 7,92 | 6,88 | 2,46 πφτ | -0,91 παα | 2,09 πλ |
| p13 | 37,38 | 30,77 | 31,85 | αΠΟ | 15,94 | 4,44 | 8,88 | 5,92 | 3,58 πφτ | -0,08 σκα | 0,86 π |
| p12 | 89,99 | 6,68 | 3,33 | ποΑ | 56,16 | 0,63 | 1,26 | 2,37 | 1,50 φτ | 0,10 θ.α | 2,16 πλ |
| p11 | 17,73 | 44,42 | 37,85 | αΠΟ | 29,69 | 3,54 | 7,08 | 6,92 | 3,81 πφτ | -0,05 σκα | 1,28 λ |
| p10 | 64,69 | 20,78 | 14,53 | ποΑ | 46,35 | 2,1 | 4,2 | 3,50 | 3,81 πφτ | 0,38 πθα | 0,94 μ |
| p9 | 89,74 | 3,38 | 6,87 | οΑ | 32,56 | 0,87 | 2,68 | 1,30 | 2,77 πφτ | -0,25 α.α | 1,27 λ |
| p8 | 100,00 | 0,00 | 0,00 | Α | 25,12 | 0,18 | 0,36 | 2,47 | 0,93 μτ | -0,38 παα | 3,18 ππλ |
| p7 | 51,17 | 25,56 | 23,28 | ποΑ | 35,99 | 3,69 | 7,38 | 4,50 | 4,16 υφτ | 0,26 θ.α | 0,83 π |
| p6 | 33,35 | 35,50 | 31,14 | αΠΟ | 32,83 | 4,08 | 8,64 | 5,57 | 4,03 υφτ | -0,24 α.α | 0,85 π |
| p5 | 28,08 | 57,02 | 14,90 | αΠ | 32,24 | 3,41 | 6,81 | 5,17 | 3,69 πφτ | -0,41 παα | 1,16 λ |
| p4 | 94,09 | 1,50 | 4,41 | Α | 32,07 | 0,68 | 1,36 | 2,23 | 1,31 φτ | 0,02 σκα | 1,73 πλ |
| p3 | 97,71 | 0,36 | 1,93 | Α | 11,38 | 0,08 | 0,86 | 2,50 | 0,88 μτ | -0,37 παα | 3,07 ππλ |
| p2 | 100,00 | 0,00 | 0,00 | Α | 23,63 | 0,15 | 0,3 | 1,97 | 1,22 φτ | -0,64 παα | 2,41 πλ |
| p1 | 97,59 | 1,56 | 0,85 | Α | 11,09 | 0,1 | 1,2 | 0,67 | 1,97 φτ | -0,28 α.α | 0,73 π |

(1) μ.τ.=μετρία ταξ/ση, μ.χ.τ.=μετρία καλή ταξ/ση, φ.τ.=φτωχή ταξ/ση, π.φ.τ.=πολύ φτωχή ταξ/ση.
 ν.φ.τ.=νιπερβολικά, φτωχή ταξ/ση.
 (2) σ.κ.α.=σχέδιον κανονική ασυμ/ρία, α.α.=αρνητική ασυμ/ρία, π.α.α.=πολύ αρνητική ασυμ/ρία, π.θ.α.=πολύ θετική ασυμ/ρία.
 (3) μ.=μεσόχωρη, θ.α.=θετική ασυμ/ρία, π.=πλατώχωρη, π.π.=πολύ πλατώχωρη, φ.τ.=φτωχή ασυμ/ρία, λ.=λεπτόχωρη, π.λ.=πολύ λεπτόχωρη, π.π.λ.=πάρα πολύ λεπτόχωρη.

Πίνακας 1: Οι στατιστικοί παράμετροι, το % ποσοστό σε άμμο-πηλό-άργιλο και το % ποσοστό του CaCO₃, οργανικού ανθρακα (C) και οργανικού υλικού των επιφανειακών ζημιάτων της λιμνοθάλασσας του Πάπλα.
Table 1: Statistical parameters, percentage of sand-silt-clay and percentage of CaCO₃, organic carbon (C) and organic matter of the surficial sediments of the Pappa lagoon.



Σχήμα 3: Α) Γραφική απεικόνιση του γραφικού μέσου (M_z) έναντι της αποκλειστικής γραφικής σταθεράς απόκλισης (σ_1). Β) Γραφική απεικόνιση του γραφικού μέσου (M_z) έναντι της αποκλειστικής γραφικής ασυμμετρίας (SK_1). Γ) Γραφική απεικόνιση της αποκλειστικής γραφικής σταθεράς απόκλισης (σ_1), έναντι της αποκλειστικής γραφικής ασυμμετρίας (SK_1). Δ) Γραφική απεικόνιση του γραφικού μέσου (M_z), έναντι της γραφικής κυρτωσής (KG). Ε) Κατανομή της αποκλειστικής γραφικής ασυμμετρίας (SK_1) στη λιμνοθάλασσα του Πάπτα.

Fig. 3: Scatter diagrams of statistical grain-size parameters. A) Graphic mean size (M_z) and inclusive standard deviation (σ_1). B) Graphic mean size (M_z) and inclusive graphic skewness (SK_1). C) Inclusive standard deviation (σ_1) and inclusive graphic skewness (SK_1). D) Graphic size (M_z) and graphic kurtosis (KG). E) Distribution of inclusive graphic skewness (SK_1) and F) Distribution of graphic kurtosis (KG) in the Pappa lagoon.

αυτού. Το νότιο τμήμα κατέχεται κυρίως από τους λιθολογικούς τύπους ομοίους με αυτούς του Α/κού περιθώριου του κεντρικού τμήματος. Η παρατάνω διάταξη των λιθολογικών τύπων βρίσκεται σε απειθείας σχέση με της πηγές τροφοδοσίας. Επιπλέον ο υδροδυναμικός παράγοντας (κύμα-ρεύμα), παρεμβαίνει στο κεντρικό τμήμα προκαλώντας ένα διαχωρισμό των αδρομερών από τους λεπτομερείς λιθολογικούς τύπους.

Οι τιμές των κοκκομετρικών παραμέτρων καθώς και η κατανομή αυτών, σχετίζεται άμεσα με την κατανομή των λιθολογικών τύπων. Ο γραφικός μέσος (Mz) παρουσιάζει ένα ευρύ φάσμα τιμών, με τάση να μειώνεται από το βόρειο προς το νότιο τμήμα (Σχ.2Γ). Ο βαθμός ταξιθέτησης είναι γενικά άσχημος. Αυτό οφείλεται στο γεγονός ότι ένα λιμνοθάλασσιο περιβάλλον είναι ένα περιβάλλον συνολικά χαμηλής ενέργειας που παράγει κατά κανόνα πολυτυπικά ίζηματα, σε συνδυασμό πάντα με το είδος της πηγής τροφοδοσίας. Η ασυμμετρία έχει αρνητικές τιμές στους αδρομερείς λιθολογικούς τύπους (αμμώδη υλικά), όπως συνήθως αναμένεται και συναντάται κατά συνέπεια στο βόρειο τμήμα. Στο κεντρικό τμήμα η διαδικασία του "λιχνίσματος" παράγει ίζηματα με θετική ασυμμετρία στο Δ/κώ περιθώριο του και ίζηματα με αρνητική ασυμμετρία στο υπόλοιπο μέρος του κεντρικού τμήματος (αμμώδης ιλύς). Στο νότιο τμήμα απαντά η αρνητική ασυμμετρία που υπάρχει ήδη στο ίζημα της πηγής τροφοδοσίας και που δεν αλλάζει επειδή το ενεργειακό επίπεδο εκεί είναι εντελώς χαμηλό. Η κύρτωση στο βόρειο τμήμα είναι μέτρια έως λεπτή, λόγω της επικράτησης του κλάσματος της άμμου. Στο κεντρικό τμήμα και στα Α/κά του περιθώρια η κύρτωση είναι λεπτόκυρτη έως μεσόκυρτη, αφού τα ίζηματα εκεί είναι περισσότερο ώριμα (επικρατεί ή ο υποπληθυσμός του πηλού και της αργίλου ή ο υποπληθυσμός της άμμου), ενώ στο κέντρο του που τα ίζηματα είναι λιγότερο ώριμα έχουν πλατύκυρτο χαρακτήρα (έχουμε σημαντική ακόμη συμμετοχή της άμμου). Στα Δ/κά περιθώρια του κεντρικού τμήματος επικρατούν ίζηματα πλατύκυρτα, επειδή φαίνεται να προκύπτουν από ανάμειξη περίπου ίσων υποπληθυσμάν άμμου με πηλό και αργίλο (ανώριμα ίζηματα).

Με βάση την κατανομή των λιθολογικών τύπων είναι εμφανής η διαφοροποίηση των τριών προαναφερθέντων τμημάτων σε ενεργειακό επίπεδο. Έτσι, το βόρειο τμήμα έχει το υψηλότερο ενεργειακό επίπεδο αφού εκτίθεται και στους τρεις επικρατούντες ανέμους. Στο κεντρικό τμήμα και ειδικότερα στο Δ/κώ περιθώριο του το ενεργειακό επίπεδο είναι μέτριο, αφού εκτίθεται στους δύο από τους τρεις επικρατούντες ανέμους. Αντίθετα το Α/κό περιθώριο του κεντρικού τμήματος και το νότιο τμήμα χαρακτηρίζονται από χαμηλό ενεργειακό επίπεδο, ως προφυλασσόμενα τμήματα από τους επικρατούντες ανέμους.

Οι αθροιστικές καμπύλες κατανομής των διαφόρων λιθολογικών τύπων των επιφανειακών ίζημάτων, μας δείχνουν ότι για τα λεπτόκυρκα ίζηματα κυριαρχούν έως και πέντε υποπληθυσμοί, που κινούνται με αιώρηση, ενώ για τα πιο χονδρόκυρκα ίζηματα, κυριαρχούν έως και εξι υποπληθυσμοί που κινούνται με σύρσιμο ή/και με άλματα. Έτσι στο βόρειο τμήμα της λιμνοθάλασσας κυριαρχεί η διαδικασία μεταφοράς του ίζηματος που αποτίθεται, με σύρσιμο και με άλματα, στο κεντρικό τμήμα κυριαρχεί η διαδικασία μεταφοράς του ίζηματος με άλματα και αιώρηση και στο νότιο τμήμα με αιώρηση.

Η μικροσκοπική παρατήρηση του κλάσματος της άμμου έδειξε την παροντία ελαφρών ορυκτών, δηλαδή χαλαζία, αισθετίτη, αστρίων σε ποσοστό 95% και αδιαφανών ορυκτών σε ποσοστό 5%. Το ποσοστό του ανθρακικού αισθετίου κυμαίνεται από 7-69% και φαίνεται να συσχετίζεται έντονα με το ποσοστό των σκελετικών υπολοίπων του βιογενούς υλικού των επιφανειακών ίζημάτων, που φτάνει σε ποσοστό έως και 64% του κλαστικού υλικού. Το ποσοστό συμμετοχής του οργανικού υλικού και του οργανικού άνθρακα (C) στα επιφανειακά ίζηματα της λιμνοθάλασσας είναι σημαντικό και φτάνει κατά μέσον όρο το 5,54 % και 2,53 % αντίστοιχα. Τέλος η αυτόχθονη βιογενής παραγωγή σκελετικών υπολοίπων απαντά στο σύνολο της λιμνοθάλασσας και μπορεί τα σκελετικά υπόλοιπα να συμμετέχουν με ποσοστό έως και 64% των επιφανειακού ίζηματος.

ΒΙΒΛΙΟΓΡΑΦΙΑ

- BARNAVAS S.P. 1979. Geochemistry of sediments from eastern Pacific. Ph.D thesis, University London, 431 pp.
- BULLER A.T. AND McMANUS A.T. 1972. Simple metric sedimentary statistics used to recognize different environments. *Sedimentology*, 18, 1-21.
- DUFFY W., BELKNAP D.F. AND KELLEY J.T. 1989. Morphology and stratigraphy of small barrier-lagoon systems in Main. *Marine Geology*, 88, 243-262.
- FOLK R.L. 1974. Petrology of Sedimentary Rocks. Hemphill, Aystin Texas, 182 pp.
- FOLK R.L. AND WARD W.S. 1957. Brazos river bar:a study in the significance of grain size parameters. *Jour. Sedim. Petr.*, 27(1), 3-26.
- GAUDETTE H.E., FLIGHT W.R., TONER L., AND FOLGER D.W. 1974. An inexpensive titration method for the determination of organic carbon in recent sediments. *Jour. Sedim. Petr.*, 44, 249-253.
- HAILS J.R. AND HOYT J.H. 1969. The significance and limitations of statistical parameters for distinguishing ancient and modern sedimentary environments of the lower Georgia coastal plain. *Jour. Sedim. Petr.*, 39(2), 559-580.
- SPENCER D.W. 1963. The interpretation of grain-size distribution curves of clastic sediments. *Jour. Sedim. Petr.*, 33, 180-190.
- VISHER 1969. Grain size distribution and depositional process. *Jour. Sedim. Petr.*, 39, 1074-1106.